

# 天日乾燥法の重力脱水に関する基礎的研究

東北大学 学生員・西村 修  
正員 後藤 光龜  
学生員 越智 靖敏

## 1 はじめに

本報告は、上水汚泥の天日乾燥における重力脱水機構について、実験的考察を加えたものである。

## 2 実験方法

実験用いた試料は、岩沼市玉崎年水場沉降池最縮槽より採取した上水汚泥で、実験開始時の含水率は97.66%、粒度密度 $\rho_s = 2.58 \text{ g/cm}^3$ である。実験装置の概略図を図-1に示す。内径12mmのカラム、筒形として有効径0.84、均等係数1.0の砂を40cm充填し、上水汚泥は40cm打ち込んだ。カラム底部より、外径2mm、内径1mmのステンレス管を、砂層面より0, 0.5, 1.0, 3.0, 7.0cmの位置に先端がくろよろに設置した。二水を用いて、汚泥内部の圧力水頭を小型圧力変換器で検出した。また、汚泥打ち込み直後、外部より磁石により固定したマーカー(直徑約5mmの球状のウキに針金を取り付け、汚泥の比重に近づけたもの)を適当な位置に配置し、作用してから磁力を切った。二のマーカーは、汚泥の濃縮につれて汚泥の固体成分とともに移動する。二水による汚泥の固体成分の動きが求められる。

## 3 実験結果および考察

重力脱水中の水面、汚泥界面、及びマーカーの位置より求めた汚泥固相の移動状態の実測例を、図-2に示す。この図より、下方の汚泥は比較的短時間のうちにかなり脱水されることはわかる。上方の汚泥は沈降により濃縮し上澄水が生じてこらめかせ、約20時間過ぎまでは固相と液相の相対速度において液相は上向流を生じてあり、脱水口は下向流が生じることを示す。脱水には進行していないといえる。二のマーカーにより明確に可知ために、図3にマーカー①-②までの部分の層厚の変化を示す。斜軸は初期層厚が任意の時間の層厚を除してひずみ量をとっている。マーカー①は、初期状態で①4.5cm、②9.5cm、③21.2cm、④25.5cm、⑤35.4cmである。二水により、鉛直方向の濃度の度合の違いがより明確になる。たとえば、ひずみが50%になるとまで時間は比較的多く、砂面マーカー①の層が約2時間でマーカー①-②の層が8~9時間、マーカー⑤-⑥の層が約43時間となり大幅に異なる。また、最下層の曲線は他の曲線に比較して急激なひずみが大きくなり、これはビニル砂面近くの汚泥の脱水言い換えれば空隙率の減少が透水性(透過速度)に大きな影響を及ぼすといえる。図-4は図-3に示す初期含水率、粒度密度より求めた空隙率の時間的変化を示す。初期空隙率は0.990である。また、各時間での空隙率の曲線は、図-3の層厚の変化に基づいて算定している。二の曲線群は下に凸の形を示し圧縮性

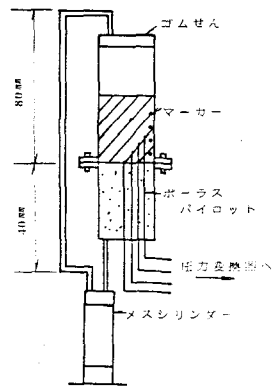


図-1 実験装置概略図

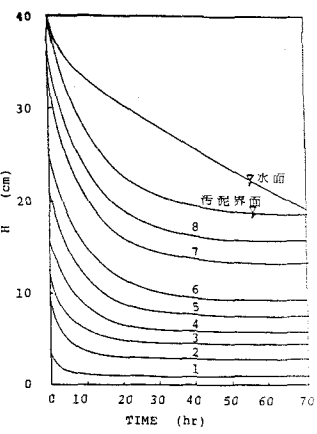


図-2 脱水曲線と固相の動き

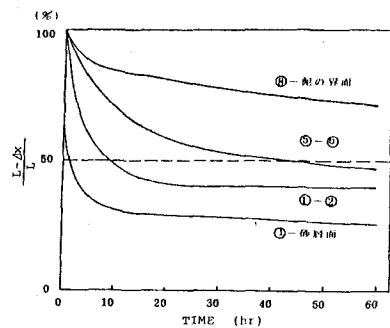


図-3 各層のひずみの変化

汚泥の特徴を表わしてい。空隙率は砂面近くで、0から時間の間に急激に減少していく。その間の上方の汚泥の空隙率は、初期空隙率にはほとんど等しく近似して、脱水の機構から考えると下方の汚泥の抵抗は上方の汚泥にはヘッドとして働かいでいるといえよう。

図-5は、砂面0.0, 0.5, 1.0, 3.0, 5.0の点で汚泥中の間隙水圧を測定した結果を示す。水面で圧力0の点とみなすか=統合び汚泥中の間隙水圧の分布を推定したものである。砂層内の圧力は、 $H=0\text{cm}$ の間隙水圧を測定したデータより、かなりの時間経過しても0とはならず、砂層の抵抗は無視できないことがわかる。図中点線で描いた曲線は汚泥の全圧力(汚泥の異加重量)を表わしている。初期状態で間隙水圧の分布は、ほとんど全圧力分布に一致している。歯密には、自重による沈降濃縮によっても有効応力は生じるが、その後時間の経過とともに点線と実線が離れる部分が上方へ移動している。全層が有効応力を無視できなくなるのは、46時間前後である。この図より、近似的に汚泥内部では有効応力を無視できる領域と無視できない領域に分けよとかれてきたと考える。

図-6は有効応力( $1-\epsilon$ )及び、全圧力をパラメータ $W=\int_0^x (1-\epsilon) P_s dx$ (排水面で $W=0$ 、汚泥表面で $W=1.03$ )を用いて表わしたものである。全圧力( $W=0.2150$ )の曲線が $t=5$ 時間ではほとんど変化しないのは、初期 $t=0$ の位置にあたる汚泥より上方の汚泥の全質量は変化しないことを示している。汚泥内部で固相と液相の相対速度がひとつの点を境界として、それより下方で脱水が進行し、上部の汚泥は脱水されない。有効応力は時間の経過とともに全圧力に近づくが、全圧力は時間とともに減少する結果有効応力も減少する。すなわち、脱水初期では、有効応力の増加に伴ない( $1-\epsilon$ )も増加していく。しかし、時間が経過すれば有効応力が減少して( $1-\epsilon$ )は増加する現象が見られる。一般に有効応力と $(1-\epsilon)$ は正の相関をもち固相にかかる応力に応じて空隙率は変化すると考えらるが、実験結果をこの関係では説明できない。現在検討中である。

図-7は以上のデータをもとに、Kozey型で表わした空隙率と透水係数の関係で直線に近似できることがわかった。

#### 4 おわりに

土水汚泥の重力脱水過程の機構は非常に複雑であり、より脱水を促進させるための有効な改善方法を見出すべく現象を数式化して表現することは、今後検討していきたい。最後に、実験等に協力して頂いた、松原国治、佐藤誠(東北大学大学院生)に感謝の意を表す。

参考文献) 楠田、古賀、栗谷「汚泥の沈降濃縮に関する研究」工学会論文集第294号

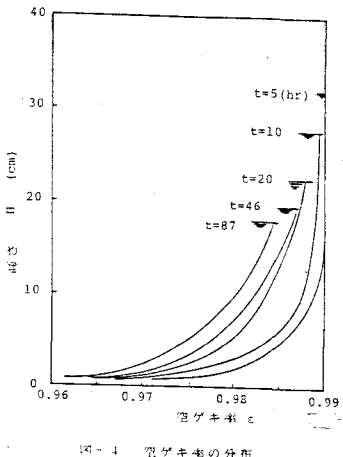


図-4 空ゲキ率の分布

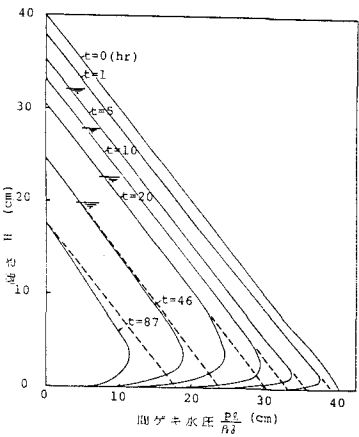


図-5 間ゲキ水圧の分布

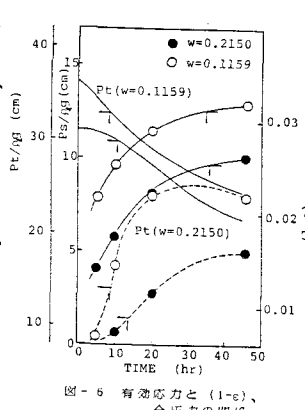


図-6 有効応力と $(1-\epsilon)$ 、全圧力の関係

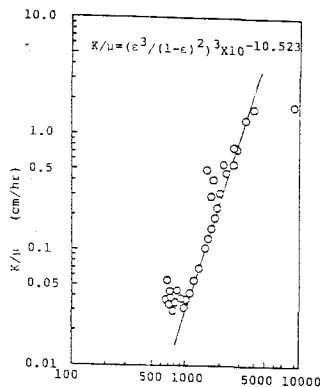


図-7 透水係数と空ゲキ率の関係